

## ФОРМУВАННЯ ТА ВАЛІДАЦІЯ АЛФАВІТУ ОЗНАК У КОМПАРАТОРНІЙ МОДЕЛІ ПРЕВЕНТИВНОГО СУПРОВОДЖЕННЯ

*Анотація.* Актуальною проблемою превентивного супроводження програмних систем є раннє виявлення деградації за експлуатаційними показниками. Метою роботи є формування та валідація алфавіту ознак для компараторної моделі оцінювання стану системи. Використано логічну класифікацію на основі експлуатаційних метрик. Експериментальні результати підтверджують можливість інтерпретованої діагностики та раннього виявлення деградаційних симптомів.

*Ключові слова:* превентивне супроводження, компараторна модель, експлуатаційний стан, деградація програмного забезпечення, алфавіт ознак, експлуатаційні метрики, старіння програмного забезпечення, спостережуваність.

**Постановка проблеми.** Превентивне супроводження програмного забезпечення (ПЗ) спрямоване на проактивний моніторинг з метою раннього виявлення проблем та ризиків до того, як вони вплинуть на користувачів. Основою такого підходу є використання системи ознак [1]. Внутрішній стан програмної системи безпосередньо не спостерігається, однак проявляється через її зовнішню поведінку, що фіксується у вигляді експлуатаційних метрик, журналів подій та інших телеметричних даних. Аналіз цих показників дозволяє виявляти симптоми деградації або відхилення у функціонуванні системи до виникнення відмов чи скарг користувачів. Такий підхід відповідає концепції спостережуваності, відповідно до якої внутрішній стан системи оцінюється за її зовнішніми проявами.

Сучасні дослідження у сфері надійності програмних систем зосереджені переважно на статистичному аналізі телеметрії, методах виявлення аномалій та використанні машинного навчання для прогнозування деградації. Водночас значно менше уваги приділяється формалізації системи ознак, яка використовується для оперативної діагностики експлуатаційного стану системи та прийняття рішень щодо превентивного супроводження.

Під експлуатаційним станом програмної системи будемо розуміти сукупність спостережуваних характеристик її функціонування у реальних умовах використання. Одним із підходів до формалізованого оцінювання експлуатаційного стану є компараторна модель супроводження ПЗ, яка забезпечує ідентифікацію стану системи на основі аналізу спостережуваних характеристик її функціонування [1]. Особливістю такого підходу є можливість його застосування в умовах обмеженої історії інцидентів, коли використання статистичних або навчальних методів аналізу даних є ускладненим.

Ефективність компараторної моделі значною мірою визначається властивостями алфавіту ознак, що використовується для опису експлуатаційного стану ПЗ. Формування такого алфавіту передбачає перетворення різнорідних експлуатаційних показників у скінченну множину булевих предикатів, які використовуються у системі логічних рівнянь моделі.

**Аналіз останніх досліджень і публікацій щодо діагностики деградацій програмного забезпечення.** Під деградацією ПЗ зазвичай розуміють поступове погіршення характеристик роботи програмної системи в часі (продуктивність, латентність, споживання ресурсів, частота помилок), яке може привести до відмови або аварійного перезапуску. Це описують як старіння ПЗ (software aging), а превентивний контрзахід як омолодження або відновлення (software rejuvenation), тобто проактивні дії на кшталт перезапусків, ротації ресурсів тощо. Формалізація відновлення як проактивного механізму проти старіння ПЗ класично посилається на роботу [2] та розглядається також в роботах [3] та [4]. Практична складність раннього виявлення деградації полягає в тому, що вона часто проявляється повільним дрейфом метрик [5], симптоми можуть бути розмиті [5, 6], “норма” змінюється через сезонність навантаження, релізи та конфігураційні зміни [7], і аварійні інциденти трапляються не часто, тобто бракує “поганих” прикладів для навчання моделей [4]. Ці фактори добре відображені в сучасних оглядах, що підкреслюють роль показників старіння та проблеми з дрейфом даних [4].

Превентивне супроводження часто зводиться до питання: коли і як виконувати відновлення, щоб зменшити очікувані втрати від деградацій. Аналіз літератури дозволяє виділити два основних класи підходів: часові (time-based) [2]: омолодження кожні  $T$  годин/днів та тригерні (condition-based) [4, 6]: оновлення при досягненні певного порогу індикаторів (наприклад, різке зростання використання пам'яті або черг).

Традиційно, відновлення ПЗ представляється як стохастичний процес, який оптимізує політику відновлення за очікуваною доступністю або вартістю [8]. Типовий підхід використовує стохастичні мережі Петрі для оцінки компромісу між вартістю оновлення ПЗ та ризиками відмови [8, 9]. Аналітичний підхід, зокрема роботи [8, 9], моделює програмну систему як стохастичний процес і оптимізує політику омолодження за очікуваною доступністю та вартістю. Висновок, який повторюється в багатьох роботах: оновлення має сенс тоді, коли очікувана втрата від краху (включно з відновленням) суттєво більша, ніж вартість керованої зупинки чи перезапуску. Для хмарних і контейнерних систем відновлення набуває нових форм: перезапуск контейнера, rolling restart, заміна вузла тощо. Емпіричні порівняння часто групують техніки на “прості” (reboot/restart) і “складні” (fast reboot, hot-standby restart), аналізуючи їх вплив [10].

Систематичні огляди літератури підкреслюють, що значна частина досліджень зосереджується на підборі індикаторів та побудові предиктивних моделей деградації [4]. До типових індикаторів можна віднести: використання пам'яті, swap, CPU, дескриптори файлів, I/O, довжини черг, латентність, частота помилок, а також похідні ознаки (градієнти, “швидкість росту” ресурсу) [4, 7]. Критично важливо, що індикатор має бу-

ти: спостережуваним, стійким до шуму та сезонності, причинно близьким до механізму деградації та операційно керованим.

Найпростіший і досі найпоширеніший підхід базується на використанні правил і порогів [4, 6]. Цей підхід широко фігурує як baseline в оглядах і емпіричних роботах, бо він дешевий і добре пояснюваний, але слабкий проти повільної деградації та складних мультифакторних ефектів [4,7]. Проміжною ланкою між порогами та машинним навчанням є статистичні методи, які виявляють зміни тренду або дрейф розподілів метрик [4,11]. У літературі це часто комбінується з індикаторами старіння [4,6]. В операційному контексті це дає кращу чутливість до ранніх змін, ніж прості пороги. Підходи на основі машинного навчання демонструють перехід до data-driven методів: класифікація станів “норма/деградація”, прогнозування часу до деградації або відмови, детекція аномалій у метриках або комбінаціях індикаторів [3, 4, 7].

Окремо треба виділити ранню діагностику аномалій, тобто виявлення відхилень, які не перевищують порогів, але систематично накопичуються [10, 11]. Такі дослідження часто пропонують методи, що підвищують чутливість до слабких сигналів, але потребують ретельного контролю хибних спрацювань [7,11]. Рання діагностика дедалі більше пов'язана зі спостережуваністю та методами контрольованих експериментів [12, 13]. Головна ідея такого підходу полягає в можливості оцінити наскільки добре система спостереження помічає деградації та які обчислювальні та фінансові витрати.

Отже, аналіз літератури однозначно підтверджує, що превентивне супроводження є ефективним класом заходів проти старіння ПЗ. Водночас, сучасні підходи зміщують акцент у бік спостережуваності та експериментальної оцінки. Однак, питання системного формування алфавіту ознак, що описує стан програмної системи та може бути використаний у моделях превентивного супроводження, залишається недостатньо опрацьованим.

**Мета та задачі дослідження.** Метою роботи є обґрунтування та формалізація алфавіту ознак для компараторної моделі превентивного супроводження програмного забезпечення, а також визначення принципів його валідації та адаптивного коригування в процесі експлуатації системи. Для досягнення поставленої мети в роботі вирішуються такі завдання:

1 сформулювати принципи побудови алфавіту ознак, що відображають процеси деградації та експлуатаційний стан програмної системи;

2 розробити компараторну модель оцінювання стану системи на основі порівняння поточних значень ознак із референтними характеристиками;

3 запропонувати підхід до валідації сформованого алфавіту ознак у процесі експлуатації системи;

4 дослідити можливість адаптивного коригування складу ознак і параметрів компараторної моделі в циклі превентивного супроводження.

**Викладення основного матеріалу дослідження.** У задачах превентивного супроводження ПЗ центральним є визначення поточного експлуатаційного стану системи та вибір відповідної реакції супроводження. У межах компараторного підходу вважа-

ється, що різні стани програмної системи можуть бути еквівалентними з точки зору супроводження, якщо вони потребують однакової експлуатаційної реакції [1]. Тому ідентифікація стану зводиться до віднесення поточного стану до одного з класів експлуатаційної реакції. Нехай  $U = \{u_1, u_2, \dots, u_m\}$  – множина можливих експлуатаційних станів програмної системи, а  $R = \{r_1, r_2, \dots, r_k\}$  – множина можливих експлуатаційних реакцій. Функція

$$\rho: U \rightarrow R$$

відображає кожний стан системи у відповідну реакцію супроводження. Для кожної реакції  $r \in R$  визначимо клас станів

$$U_r = \{u \in U \mid \rho(u) = r\},$$

який об'єднує всі стани, які є еквівалентними з точки зору необхідної експлуатаційної реакції.

Для опису стану програмної системи використовується множина спостережуваних ознак (алфавіт):

$$A = \{p_1, p_2, \dots, p_n\},$$

де  $p_i$  – булевий предикат, що відображає наявність або відсутність певної ознаки стану програмної системи. Кожному стану  $u \in U$  відповідає предикатний образ

$$P(u) = (p_1(u), p_2(u), \dots, p_n(u)), p_i(u) \in \{0, 1\}.$$

Отже, стан програмної системи задається двійковим вектором ознак

$$X = (x_1, x_2, \dots, x_n), \text{ де } x_i = p_i(u).$$

Метод компараторної ідентифікації [14] ґрунтується на використанні відношень порівняння між об'єктами. Особливістю підходу є можливість його застосування в умовах обмеженої історії інцидентів, коли використання статистичних методів аналізу даних є ускладненим або неможливим. Компараторна модель ґрунтується на тому, що кожному класу експлуатаційної реакції  $r \in R$  ставиться у відповідність логічний предикат

$$E_r(x_1, x_2, \dots, x_n),$$

який набуває значення 1 тоді й лише тоді, коли поточний вектор ознак належить класу  $E_r$ . Для забезпечення інтерпретованості предикати класів доцільно подавати у диз'юнктивній нормальній формі:

$$E_r(x_1, \dots, x_n) = \bigvee_{j=1}^{m_r} (\bigwedge_{i=1}^n l_{ij}^{(r)}),$$

де  $l_{ij}^{(r)}$  – літерал, що дорівнює або  $x_i$ , або  $\neg x_i$ , залежно від того, яким має бути значення відповідної ознаки у  $j$ -му допустимому шаблоні класу  $r$ .

Отже, кожний кон'юнкт у ДНФ задає один допустимий варіант поєднання ознак, що відповідає певному класу експлуатаційної реакції, а диз'юнкція таких кон'юнктив задає повний опис цього класу. Тоді компараторна модель:

$$\begin{cases} F_{r_1}(x_1, \dots, x_n) = 1, \\ F_{r_2}(x_1, \dots, x_n) = 1, \\ \dots \\ F_{r_k}(x_1, \dots, x_n) = 1. \end{cases}$$

Для коректності класифікації система повинна задовольняти умови повноти та взаємовиключності [14]:

$$\begin{aligned} \bigvee_{r \in R} F_r(x) &= 1, \\ F_r(x) \wedge F_{r'}(x) &= 0, r \neq r'. \end{aligned}$$

Якість цієї моделі безпосередньо залежить від того, наскільки алфавіт ознак  $A$  забезпечує розрізнення класів і повноту опису. Нехай журнал експлуатаційних подій представлено у вигляді послідовності записів

$$E = \{e_1, e_2, \dots, e_N\}.$$

Події журналу можуть відповідати як нормальним станам системи, так і різним симптомам деградації, зокрема помилкам виконання, перевищенню часу відповіді, аномаліям безпеки або сигналам незадоволеності користувачів. Для узагальнення експлуатаційних характеристик використовується підхід ковзних часових вікон. Нехай  $W_k = [t_k, t_k + \Delta t]$  – часове вікно спостереження довжиною  $\Delta t$ . Множина подій, що належать цьому вікну, визначається як

$$E_k = \{e_i \in E \mid t_k \leq t_i < t_k + \Delta t\}.$$

На основі подій множини  $E_k$  обчислюються агреговані показники експлуатації. Нехай  $M = \{m_1, m_2, \dots, m_s\}$  – множина первинних метрик. Прикладами таких метрик можуть бути: частка успішно виконаних функціональних операцій, кількість критичних вразливостей або спроб несанкціонованого доступу, час виконання ключових користувачьких операцій, затримка виконання запитів або частка помилок сервісу тощо. Для використання у компараторній моделі ці показники перетворюються на бінарні предикатні ознаки за допомогою порогових значень:

$$p_j = \begin{cases} 1, & m_j(W_k) > \theta_j, \\ 0, & m_j(W_k) \leq \theta_j. \end{cases}$$

У результаті формується вектор стану  $X_k$ , який описує функціонування системи у часовому вікні  $W_k$ . У реальних умовах експлуатації повний перелік можливих станів заздалегідь невідомий. Тому початкова модель формується на основі обмеженої множини відомих ситуацій, отриманих у процесі тестування системи, а також на основі експертних правил, що описують типові симптоми деградації. Нехай  $\Omega_0 = \{X^{(1)}, X^{(2)}, \dots, X^{(L)}\}$  – початкова множина відомих експлуатаційних станів. Ко-

жен стан  $X^{(l)}$  формується з використанням алфавіту  $A_0 = \{p_1, p_2, \dots, p_{n_0}\}$ . Для кожного стану з множини  $\Omega_0$  задається відповідний клас експлуатаційної реакції  $r^{true}(X^{(l)}) \in R$ . Перед застосуванням моделі виконується її валідація на множині  $\Omega_0$ . Додатково перевіряється відповідність результатів класифікації експертно заданим класам:

$$r(X^{(l)}) = r^{true}(X^{(l)}), \forall X^{(l)} \in \Omega_0.$$

Розглянемо приклад супроводження мобільного застосунку, який отримує вимірювання рівня глюкози, передає їх до серверної частини системи та формує індивідуальний прогноз зміни рівня глюкози для користувача [15]. Перший етап методу полягає в організації моніторингу та зборі первинної інформації про роботу ПЗ. Основним джерелом таких даних є журнал подій експлуатації. У дослідженні розглядається сценарій функціонування системи, у якій велика кількість клієнтських застосунків взаємодіє з сервером.

Головною метою експерименту є оцінювання здатності компараторної моделі здійснювати ранню діагностику на основі аналізу експлуатаційних подій. У синтетичному середовищі моделюється потік подій, що відображає нормальну роботу системи, а також контрольовані сценарії деградації та аномальних ситуацій. Експеримент задається набором параметрів конфігурації, зокрема: 14 днів періоду спостереження, 500 користувачів, 60 хвилин для вікон агрегації. Нижче наведено приклад фрагменту синтетичного журналу експлуатаційних подій (рис.1). Кожен рядок таблиці відповідає окремій події. На основі подій журналу обчислюються агреговані експлуатаційні показники, що характеризують різні аспекти функціонування програмної системи.

Перед проведенням експерименту компараторна модель була перевірена на початковій множині  $\Omega_0$  з 11 відомих експлуатаційних станів. Результати перевірки наведено на рис. 2. Для всіх станів виконано умови повноти, несуперечливості та однозначності класифікації. Отже, компараторна модель була визнана валідованою.

event_id	timestamp	user_id	session_id	event_type	event_status	operation_name	latency_ms	retry_count	error_code	network_quality	server_load	server_queue_size	complaint_flag	abandon_flag
1	2025-12-03 08:12:11	U102	S7781	prediction_request	success	prediction	240	0	—	good	0.41	12	0	0
2	2025-12-03 08:12:12	U102	S7781	prediction_received	success	prediction	180	0	—	good	0.42	11	0	0
3	2025-12-03 08:14:55	U341	S9902	sync_started	success	sync	310	0	—	fair	0.47	14	0	0
4	2025-12-03 08:14:58	U341	S9902	sync_completed	success	sync	350	0	—	fair	0.49	13	0	0
5	2025-12-03 09:02:07	U587	S6620	prediction_request	success	prediction	1250	1	—	poor	0.73	25	0	0
6	2025-12-03 09:02:12	U587	S6620	timeout_occurred	failure	prediction	5000	2	TIMEOUT	poor	0.79	32	0	1
7	2025-12-03 09:02:15	U587	S6620	user_retry_action	info	prediction	—	1	—	poor	0.81	35	0	0
8	2025-12-03 09:05:44	U214	S7812	request_failed	failure	sync	2200	1	SERVER_ERROR	fair	0.77	29	0	1
9	2025-12-03 09:10:19	U903	S8844	user_reported_issue	info	support	—	0	—	fair	0.75	27	1	0
10	2025-12-04 14:18:07	U410	S9921	auth_failed	failure	auth	140	0	INVALID_TOKEN	good	0.52	16	0	0

Рисунок 1 Фрагмент журналу експлуатаційних подій

Feature-system conflicts found: 0

status  
0 No feature-level conflicts found

state_id	true_class	F_norm	F_degradation	F_problem	sum	predicted_class	is_complete	is_consistent	is_correct	
0	X1	Norm	1	0	0	1	Norm	True	True	True
1	X2	Degradation	0	1	0	1	Degradation	True	True	True
2	X3	Degradation	0	1	0	1	Degradation	True	True	True
3	X4	Degradation	1	1	0	2	Degradation	True	False	True
4	X5	Degradation	1	1	0	2	Degradation	True	False	True
5	X6	Degradation	0	1	0	1	Degradation	True	True	True
6	X7	Problem	0	0	1	1	Problem	True	True	True
7	X8	Problem	0	0	1	1	Problem	True	True	True
8	X9	Problem	0	0	1	1	Problem	True	True	True
9	X10	Problem	0	0	1	1	Problem	True	True	True
10	X11	Problem	0	0	1	1	Problem	True	True	True

Completeness: True  
Consistency: False  
Correct classification: True  
Uniqueness: False

Рисунок 2 Валідація моделі на початковій множині експлуатаційних станів

Було сформовано 336 вікон спостереження, для яких обчислювалися експлуатаційні показники: частка помилок запитів, частка таймаутів, середня затримка виконання, 95-й перцентиль затримки, частота повторних дій користувачів, частота скарг користувачів, показники серверного навантаження. Приклад динаміки деяких показників наведено на рис. 3. На графіках чітко спостерігається зміна поведінки показників у періоди деградації.

Після побудови предикатних образів для кожного вікна застосовувався алгоритм компараторної класифікації. Розподіл класифікованих станів: Norm=241, Degradation=71, Problem=18, NewState=6. Таким чином, модель виявила 89 вікон з деградаційними симптомами. У більшості випадків модель правильно ідентифікувала періоди деградації (рис. 4). У проведеному експерименті 93 % станів було класифіковано правильно.

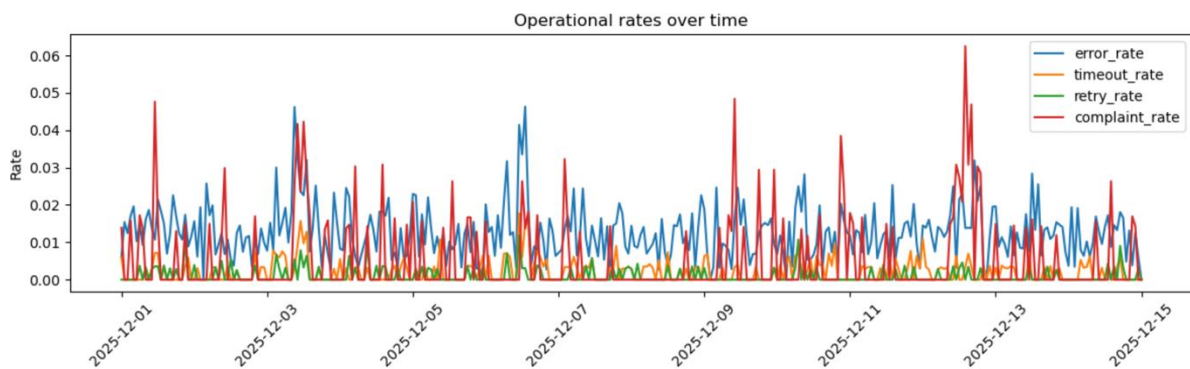


Рисунок 3 Динаміка експлуатаційних показників

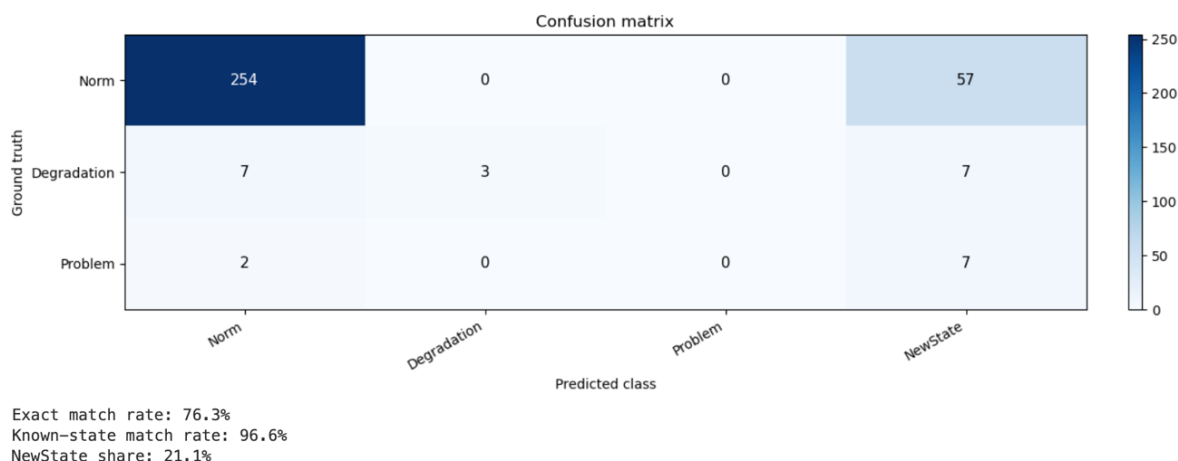


Рисунок 4 Оцінка результатів класифікації

Аналіз показав, що більшість помилок виникає у двох ситуаціях: перехід між нормою та деградацією або перехід від деградації до проблеми. Такі помилки є очікуваними, оскільки симптоми проблемного стану накопичуються поступово. Крім того, для кожного сценарію було визначено момент початку деградації  $t_{start}$  та момент її виявлення моделлю  $t_{detect}$ . Затримка виявлення визначалась як

$$\Delta t = t_{detect} - t_{start}$$

Результати наведено у табл. 1. Середня затримка виявлення становила  $\Delta t = 13$  хв. Це підтверджує можливість використання компараторної моделі для ранньої діагностики експлуатаційних проблем.

У процесі експерименту було зафіксовано 6 випадків, для яких жоден стан не було класифіковано, тобто

$$F_{Norm}(X) = F_{Deg}(X) = F_{Prob}(X) = 0.$$

Таблиця 1

Оцінка затримки виявлення деградації

Scenario	start	detected	delay
performance degradation	10:00	10:15	15 хв
server overload	14:00	14:12	12 хв
UX degradation	18:00	18:18	18 хв
security anomaly	21:00	21:07	7 хв

Ці стани були класифіковані як нові. Аналіз показав, що такі стани виникали у випадках комбінованих симптомів, які не були передбачені початковою системою правил. Такі стани потребують подальшого аналізу та розширення системи предикатів. Таким чином, результати експериментів підтверджують можливість використання компараторної моделі.

**Висновки.** У превентивному супроводі ПЗ система метрик виступає “сенсорами” внутрішнього стану, дозволяючи побудувати модель, що порівнює стани і виявляє де-

градацію. Експеримент проводився з використанням синтетичного журналу експлуатаційних подій, згенерованого відповідно до описаної моделі експлуатаційного середовища. Метою експерименту було перевірити можливість застосування компараторної моделі для ранньої діагностики деградаційних станів програмної системи. Порівняння результатів класифікації з еталонними експлуатаційними станами показало, що компараторна модель забезпечує високу точність визначення класів експлуатаційної реакції. Загальна точність класифікації становила близько 93 %.

Аналіз часової динаміки експлуатаційних показників показав, що деградаційні процеси супроводжуються поступовим зростанням затримок виконання операцій, частоти помилок запитів та повторних дій користувачів. Результати експерименту також показали можливість виявлення нових експлуатаційних станів, які не були описані у початковій системі правил. Такі стани можуть бути використані для подальшого розширення моделі та уточнення порогових значень експлуатаційних показників.

Таким чином, проведене дослідження підтверджує, що запропонована компараторна модель може бути використана як інструмент превентивного супроводження програмних систем, забезпечуючи раннє виявлення деградаційних процесів на основі аналізу експлуатаційних даних.

#### ЛІТЕРАТУРА

1. Chupryna A., Repikhov V. Reference model for preventive software maintenance // *Management Information Systems and Devices*. – 2025. – №4 (187). – С. 254–277.  
DOI: <https://doi.org/10.30837/0135-1710.2025.187.254>
2. Huang Y., Kintala C., Kolettis N., Fulton N. Software rejuvenation: analysis, model and applications // *Proceedings of the 25th International Symposium on Fault-Tolerant Computing*. – Pasadena, USA, 1995. – P. 381–390. DOI: <https://doi.org/10.1109/FTCS.1995.466961>
3. Cotroneo D., Iannillo A. K., Natella R., Pietrantuono R. A comprehensive study on software aging across Android versions and vendors // *Empirical Software Engineering*. – 2020. – Vol. 25, №5. – P. 3357–3395. DOI: <https://doi.org/10.1007/s10664-020-09838-3>
4. Moura R. J., Nascimento M. G., Machida F., Cotroneo D., Andrade E. Machine learning for software aging detection: A systematic mapping study // *Journal of Systems and Software*. – 2026. – Vol. 234. – Article 112715. DOI: <https://doi.org/10.1016/j.jss.2025.112715>
5. Rahman T., Nwokeji J., Manjunath T. V. Analysis of current trends in software aging: A literature survey // *Computer and Information Science*. – 2022. – Vol. 15, №4. – P. 19.  
DOI: <https://doi.org/10.5539/cis.v15n4p19>
6. da Costa J. T., Matos R. de S., de Araujo J. C. T., Maciel P. R. M. Systematic mapping of literature on software aging and rejuvenation research trends // *Proceedings of the Annual Reliability and Maintainability Symposium (RAMS)*. – 2021. – P. 1–6.  
DOI: <https://doi.org/10.1109/RAMS48097.2021.9605775>
7. Moura R. J., Nascimento M. G., Machida F., Andrade E. Adaptive detection of software aging under workload shift // *Proceedings of the Simpósio em Sistemas Computacionais de Alto Desempenho (SSCAD)*. – 2025. – P. 242–253.  
DOI: <https://doi.org/10.5753/sscad.2025.16694>

8. Carnevali L., Paolieri M., Reali R., Scommegna L., Vicario E. A Markov regenerative model of software rejuvenation beyond the enabling restriction // IEEE International Symposium on Software Reliability Engineering Workshops. – 2022. – P. 138–145.
9. Pietrantuono R., Russo S. Software aging and rejuvenation in the cloud: A literature review // IEEE International Symposium on Software Reliability Engineering Workshops. – 2018. – P. 257–263. DOI: <https://doi.org/10.1109/ISSREW.2018.00016>
10. Cotroneo D., De Simone L., Natella R., Pietrantuono R., Russo S. Software micro-rejuvenation for Android mobile systems // Journal of Systems and Software. – 2022. – Vol. 186. – Article 111181. DOI: <https://doi.org/10.1016/j.jss.2021.111181>
11. Nascimento M. G., Moura R. J., Machida F., Andrade E. Comparison of machine learning algorithms for detecting software aging in SQL Server // Proceedings of the Latin American Symposium on Dependable and Secure Computing (LADC). – 2024. – P. 159–164. DOI: <https://doi.org/10.1145/3697090.3699798>
12. Avritzer A. et al. Software aging detection and rejuvenation assessment in heterogeneous virtual networks // IEEE Transactions on Emerging Topics in Computing. – 2025. – Vol. 13, №2. – P. 299–313. DOI: <https://doi.org/10.1109/TETC.2025.3547612>
13. Scommegna L., Avritzer A., Carnevali L., Vicario E. Quantitative modeling and evaluation of software aging and rejuvenation in microservices // Proceedings of the IEEE International Symposium on Software Reliability Engineering Workshops. – 2025. – P. 322–329. DOI: <https://doi.org/10.1109/ISSREW67781.2025.00091>
14. Plehova G., Sharonova N., Neronov S., Plehov D., Fedorovych V. Mathematical bases of the methodology for building an intellectual system based on the theory of intelligence and the apparatus of predicate algebra // Innovative Technologies for Project and Program Management. – Riga: European University Press, 2025. – P. 202–235. DOI: <https://doi.org/10.30837/MMP.2025.202>
15. Vysotska V., Smelyakov K., Sharonova N., Dolhanenko O., Lanovyy O., Repikhov V. Intelligent system for diabetes management on mobile devices // Proceedings of the International Conference on Computational Linguistics and Intelligent Systems (CoLLInS). – 2025. DOI: <https://doi.org/10.31110/COLINS/2025-3/006>

#### REFERENCES

1. Chupryna, A., & Repikhov, V. (2025). Reference model for preventive software maintenance. *Management Information Systems and Devices*, 4(187), 254–277. <https://doi.org/10.30837/0135-1710.2025.187.254>
2. Huang, Y., Kintala, C., Kolettis, N., & Fulton, N. (1995). Software rejuvenation: Analysis, model and applications. *Proceedings of the International Symposium on Fault-Tolerant Computing*, 381–390. <https://doi.org/10.1109/FTCS.1995.466961>
3. Cotroneo, D., Iannillo, A. K., Natella, R., & Pietrantuono, R. (2020). A comprehensive study on software aging across Android versions and vendors. *Empirical Software Engineering*, 25(5), 3357–3395. <https://doi.org/10.1007/s10664-020-09838-3>
4. Moura, R. J., Nascimento, M. G., Machida, F., Cotroneo, D., & Andrade, E. (2026). Machine learning for software aging detection: A systematic mapping study. *Journal of Systems and Software*, 234, 112715. <https://doi.org/10.1016/j.jss.2025.112715>

5. Rahman, T., Nwokeji, J., & Manjunath, T. V. (2022). Analysis of current trends in software aging: A literature survey. *Computer and Information Science*, 15(4), 19. <https://doi.org/10.5539/cis.v15n4p19>
6. da Costa, J. T., Matos, R. de S., de Araujo, J. C. T., & Maciel, P. R. M. (2021). Systematic mapping of literature on software aging and rejuvenation research trends. *Proceedings of the Annual Reliability and Maintainability Symposium (RAMS)*, 1–6. <https://doi.org/10.1109/RAMS48097.2021.9605775>
7. Moura, R. J., Nascimento, M. G., Machida, F., & Andrade, E. (2025). Adaptive detection of software aging under workload shift. *Proceedings of the Simpósio em Sistemas Computacionais de Alto Desempenho*, 242–253. <https://doi.org/10.5753/sscad.2025.16694>
8. Carnevali, L., Paolieri, M., Reali, R., Scommegna, L., & Vicario, E. (2022). A Markov regenerative model of software rejuvenation beyond the enabling restriction. *IEEE International Symposium on Software Reliability Engineering Workshops*, 138–145.
9. Pietrantuono, R., & Russo, S. (2018). Software aging and rejuvenation in the cloud: A literature review. *IEEE International Symposium on Software Reliability Engineering Workshops*, 257–263. <https://doi.org/10.1109/ISSREW.2018.00016>
10. Cotroneo, D., De Simone, L., Natella, R., Pietrantuono, R., & Russo, S. (2022). Software micro-rejuvenation for Android mobile systems. *Journal of Systems and Software*, 186, 111181. <https://doi.org/10.1016/j.jss.2021.111181>
11. Nascimento, M. G., Moura, R. J., Machida, F., & Andrade, E. (2024). Comparison of machine learning algorithms for detecting software aging in SQL Server. *Proceedings of the Latin-American Symposium on Dependable and Secure Computing*, 159–164. <https://doi.org/10.1145/3697090.3699798>
12. Avritzer, A., et al. (2025). Software aging detection and rejuvenation assessment in heterogeneous virtual networks. *IEEE Transactions on Emerging Topics in Computing*, 13(2), 299–313. <https://doi.org/10.1109/TETC.2025.3547612>
13. Scommegna, L., Avritzer, A., Carnevali, L., & Vicario, E. (2025). Quantitative modeling and evaluation of software aging and rejuvenation in microservices. *IEEE International Symposium on Software Reliability Engineering Workshops*, 322–329. <https://doi.org/10.1109/ISSREW67781.2025.00091>
14. Plehova, G., Sharonova, N., Neronov, S., Plehov, D., & Fedorovych, V. (2025). Mathematical bases of the methodology for building an intellectual system based on the theory of intelligence and the apparatus of predicate algebra. In *Innovative Technologies for Project and Program Management* (pp. 202–235). European University Press. <https://doi.org/10.30837/MMP.2025.202>
15. Vysotska, V., Smelyakov, K., Sharonova, N., Dolhanenko, O., Lanovyy, O., & Repikhov, V. (2025). Intelligent system for diabetes management on mobile devices. *Proceedings of the International Conference on Computational Linguistics and Intelligent Systems*. <https://doi.org/10.31110/COLINS/2025-3/006>

Received 24.03.2026  
Accepted 27.03.2026  
Published 31.03.2026

***Formation and validation of the feature alphabet  
in a comparator model of preventive software maintenance***

*Modern software systems operate in dynamic environments where performance degradation may gradually accumulate and eventually lead to service disruptions or system failures. Preventive software maintenance aims to detect early symptoms of degradation before critical incidents occur. However, reliable early diagnosis remains challenging because internal system states are not directly observable and must be inferred from operational telemetry such as logs, monitoring metrics, and user interaction data.*

*Recent research in software reliability and software aging detection primarily focuses on statistical analysis of telemetry data and machine learning techniques for anomaly detection and predictive maintenance. Despite significant progress in these areas, considerably less attention has been paid to the formal construction of interpretable feature systems that can be used for operational state diagnosis and preventive maintenance decision-making.*

*The purpose of this study is to develop and formalize an approach to forming and validating a feature alphabet for a comparator model of preventive software maintenance. The proposed model represents software system states using a finite set of observable features derived from operational metrics. These features are transformed into Boolean predicates that describe the current operational state of the system. Based on these predicates, a comparator identification model is constructed that classifies system states into operational response classes such as normal state, degradation state, and problem state.*

*The research method is based on the comparator identification approach, where system states are represented as vectors of binary features and classified using logical predicates expressed in disjunctive normal form. This representation enables interpretable state classification and allows engineers to understand which combinations of operational indicators correspond to different system conditions.*

*To evaluate the proposed approach, an experimental study was conducted using a synthetic event log simulating the operation of a distributed mobile application system. The experimental environment modeled normal operation as well as controlled degradation scenarios, including performance degradation, server overload, user experience deterioration, and security anomalies. Operational events were aggregated using sliding time windows, and a set of operational indicators was calculated for each window.*

*The results of the experiment demonstrate that the comparator model can effectively identify degradation symptoms based on operational metrics. The model correctly classified approximately 93% of system states and was able to detect degradation symptoms before critical incidents occurred. In addition, the model identified previously unseen operational states, indicating the possibility of adaptive refinement of the feature alphabet during system operation.*

*The obtained results confirm that the proposed comparator model and the feature alphabet formation approach can serve as an effective instrument for preventive software maintenance. The model provides interpretable diagnostics, supports early detection of deg-*

*radation processes, and can be extended through iterative refinement of features and logical rules during system operation.*

*Key words: preventive software maintenance, comparator model, operational state of a software system, software degradation, feature alphabet, operational metrics, degradation detection, software aging, system observability.*

**Репіхов Вадим Миколайович** – аспірант кафедри програмної інженерії, Харківський національний університет радіоелектроніки.

ORCID: <https://orcid.org/0000-0002-1274-4205>

**Чуприна Анастасія Сергіївна** – кандидат технічних наук, доцент кафедри програмної інженерії, Харківський національний університет радіоелектроніки.

ORCID: <https://orcid.org/0000-0003-0394-9900>

**Repikhov Vadym** – PhD student, Department of Software Engineering, Kharkiv National University of Radio Electronics.

ORCID: <https://orcid.org/0000-0002-1274-4205>

**Chupryna Anastasiia** – PhD, Associate Professor, Department of Software Engineering, Kharkiv National University of Radio Electronics.

ORCID: <https://orcid.org/0000-0003-0394-9900>